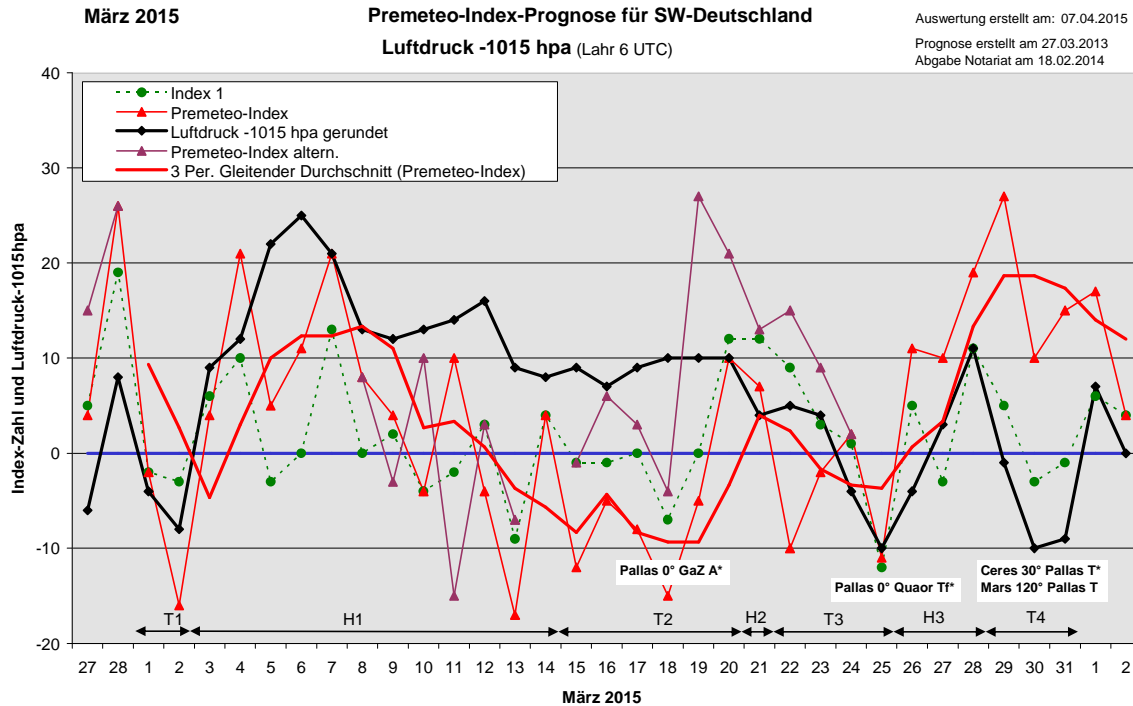


Wetterlagenverlauf März 2015 im Vergleich zur Premeteo-Indexprognose für Südwest-Deutschland

(Im Diagramm sind über der Datumsachse die real eingetreten Hoch- und Tiefdruckphasen durch Doppelpfeile eingetragen. Ausschlaggebend für die Evaluation ist der tägliche Premeteo-Index, in der dünneren, roten Linie mit Dreieckspunkten dargestellt. Ein negativer Premeteo-Index zeigt die Wahrscheinlichkeit für eine zyklonale Tiefdruckströmung, ein positiver Premeteo-Index die Wahrscheinlichkeit für eine antizyklonale Hochdruckströmung an.

Die Wetterlagenbeschreibungen wurden anhand der Berliner Wetterkarten erstellt. Ausschlaggebend ist die Europa-Bodenkarte um 0 UTC, die feiner skalierte 12 UTC-Karte von Mitteleuropa wird nur bei einem Wetterlagenwechsel für die Einordnung des Tages hinzugezogen. Am Ende des Dokuments befinden sich die Tabellen und Konstellationen, die dem Diagramm zugrunde liegen.)



Tiefdruckphase 1: Der März begann mit einer Tiefdruckphase durch Tief Yoda, das am 1. mit seinem Kernbereich über Schottland lag und durch Tief Zacharias, das sich von der Nordsee aus über ganz Deutschland ausdehnte. Der Premeteo-Index summierte auf -18.

Hochdruckphase 1: Am 3. März stieg der Luftdruck mit Hoch Juana über Frankreich kräftig an. In der Nacht überquerte eine Kaltfront die Region und bei weiter steigendem Luftdruck dehnte sich um 0 UTC bereits das Azorenhoch Karin bis nach der Schweiz aus. Karin lag am 5. mit dem Kern über der Biskaya und reichte bis über Osteuropa. Auf 500 hpa verlief bis zum 5. über unserer Region der Grenzbereich zwischen zyklonaler und antizyklonaler Strömung, so dass es neben Sonnenschein z. T. auch graue, dichte Bewölkung gab. Erst ab dem 6. befand sich Südwestdeutschland auch auf 500 hpa eindeutig im Bereich antizyklonaler Strömung. Der Kern von Hoch Karin befand sich am 7. schon über Österreich und bewegte sich über die Karpaten nach Südrussland. Hoch Luisa über Großbritannien übernahm ab dem 9. die Regie und verlagerte seinen Kern bis zum 13. über das Baltikum. Am 10. zeigte der Premeteo-Index einen einzelnen negativen Tag mit -4 an und am Abend kam es tatsächlich zum Durchzug eines Regengebiets, aber insgesamt blieb die antizyklonale Strömung erhalten. Der Premeteo-Index verlief am 12. und 13. erneut im negativen Bereich, das entsprach der Zyklonalisierung der Atmosphäre auf 500 hpa und dem fallenden Luftdruck, aber am Boden trat die zyklonale Strömung durch die relativ kalte Luftmasse mit ihren Nachfrösten erst um drei Tage verzögert ein. Am 12. war der Index 1 positiv gewesen und am 13. trat um 20 UTC noch der Hf-Aspekt Merkur 150° Makemake auf. Am 14. lag die südwestdeutsche Region flach im südlichen Grenzbereich von Hoch Luisa, dessen Kerne nun über Skandinavien und Russland lagen. Über Südfrankreich befand sich

bereits der Kern einer zyklonalen Strömung, die nun nach Norden vorstieß. Der Premeteo-Index summierte über die ganze Hochdruckphase auf +63.

Tiefdruckphase 2: Bei gleichem Luftdruckniveau und ähnlicher Witterung wie an den Vortagen kam die Region am 15. in den Isobarenbereich des Tiefs über dem Mittelmeer. Am 17. war es auf Meereshöhe ein Tief westlich der Iberischen Halbinsel, das die Isobaren bis nach Südwestdeutschland um seinen Kern noch flach krümmte, auf 500 hpa stellte sich eine Südströmung zwischen zyklonaler und antizyklonaler Strömung ein. Die Witterung hatte den Charakter von Hochdruckwetter, und der Luftdruck pendelte zwischen 1023 hpa und 1025 hpa, aber dennoch war am 18. die Krümmung der Isobaren in unserer Region zum Tiefdruckkern hin gerichtet, der jetzt über Portugal lag. Auffallend war, dass das Goethe-Barometer, dessen Mess-Flüssigkeit Wasser ist, die Zyklonalität trotz der relativ hohen Luftdruckwerte anzeigte indem das Wasser in der schmalen Tülle immer weit nach oben stieg, so wie es normalerweise nur bei sehr tiefen Luftdruckwerten der Fall ist. Am 19. war auf 500 hpa die zyklonale Strömung ausgeprägt vorhanden, während die Bodenkarte eher einen Übergangsbereich mit sehr geringem Luftdruckgradienten anzeigte. Um die Mittagszeit war jedoch eine deutliche, zyklonale Strömung vorhanden, so dass auch dieser Tag dieser Strömung zugeordnet wurde. Am 20. lag der Kern, der bei uns noch flach-zyklonalen Strömung, westlich Marokkos, der Premeteo hatte für diesen Tag aber schon einen positiven Wert angenommen. Über die ganze, sechstägige, flache Tiefdruckphase summierte der Premeteo-Index auf -35.

Hochdruckphase 2: Am 21. geriet Südwestdeutschland vorübergehend in den Isobarenbereich von Hoch Natascha über dem Ostatlantik. Der Premeteo-Index hatte einen Wert von +7.

Tiefdruckphase 3: Der Kern von Hoch Natascha bewegte sich relativ rasch nach Osten und unsere Region lag schon am Mittag des 22. bereits im Bereich zyklonaler Strömung eines kleinen Tiefdruckgebildes über der Schweiz. Am 23. war es wieder das Mittelmeertief mit Kern bei Gibraltar, das mit seiner Isobarenkrümmung bis nach Südwestdeutschland reichte bei relativ hohen Luftdruckwerten (nur das Goethebarometer zeigte wieder deutlich die Zyklonalität der Strömung!). Vom 24. zum 25. wechselte die Strömung über Südwestdeutschland vom Tief über der Iberischen Halbinsel zu Tief Jörg über Ostfrankreich und die Luftdruckwerte gingen jetzt entsprechend dem Premeteo-Index deutlich nach unten. Tief Jörg bewegte sich rasch weiter nach Nordost. Der Premeteo-Index summierte auf -21.

Hochdruckphase 3: Am 26. kam es zu einem Vorstoß des Azorenhochs. In der Nacht zum 27. machte sich kurz der Einfluss von Tief Klaus über der Nordsee bemerkbar, doch hatte sich in der Mittagskarte die antizyklonale Strömung des Azorenhochs bereits wieder über unserer Region durchgesetzt und blieb auch am 28. erhalten. Der Premeteo-Index summierte über die dreitägige Hochdruckphase auf +40.

Tiefdruckphase 4: Am 29. griff Tief Lucien entgegen dem hohen Premeteo-Index von +27 auf Südwestdeutschland über und brachte in der Nacht zum 30. Sturm und zum Teil kräftige Niederschläge. Die Überprüfung der Konstellationen förderte einen handwerklichen Fehler zutage: Ceres 135° Apogäum H*+5, sowie Ceres 72° abst. Mondknoten H*+10 am 28. um 11:14 UTC und 14:39 UTC hätten gemäß den bestehenden Regeln nicht angerechnet werden dürfen, wegen Ceres 30° Pallas T*-5 am 30. März. Dadurch hätten die Werte des Premeteo-Index am 28. und 29. statt +19 und +27 nur +14 und +17 betragen. Damit wäre aber der Vorstoß von Tief Lucien auch nicht prognostiziert worden. Der hohe positive Wert des Premeteo-Index stammte aus Index 2 und 3. Es war die Symmetrie Quaoar 135° Venus Jupiter HH*T, die mit +14 Punkten einging, und die beiden H-Aspekte Venus 135° Quaoar und Jupiter 135° Quaoar erschienen auch noch einmal im Index 3 mit +8 Punkten durch die Konjunktion von Pallas mit Quaoar. Gerade diese Konjunktion schien für die weitere Abfolge von Tief Mike am 30. und Orkan-Tief Niklas am 31. verantwortlich zu sein. Pallas 0° Quaoar ist ein starker Tiefdruck-Aspekt. Als er am 25. exakt wurde, zeigten der Verlauf des Premeteo-Index und des Luftdrucks eine bemerkenswerte Übereinstimmung. Am 30. schien die Konjunktion Pallas-Quaoar durch die beiden T-Aspekte Mars 120° Pallas und Ceres 120° Pallas noch mal besonders aktiviert worden zu sein und schloss damit Index 2 und 3 aus. Nach den bestehenden, noch zu wenig differenzierten Prognoseregeln war diese starke Tiefdruckphase nicht vorherzusagen, doch entsprach sie dem Verlauf von Index 1, wie das

Diagramm zeigt, denn sie hatte einen leichten Überschuss an exakten T-Aspekten. Der Premeteo-Index summierte durch Index 2 und 3 jedoch auf +52 (korrigiert +42).

Zusammenfassung:

Der März 2015 erfüllte mit seinen 23 bezüglich der Strömung richtig prognostizierten Tagen recht gut die Premeteo-Langzeitprognose, besonders wenn man bedenkt, dass die Prognose schon vor zwei Jahren am 27.03.2013 erstellt und am 18.02.2014 zusammen mit dem ganzen Jahr 2015 am Notariat Offenburg abgegeben worden war.

Zu den Besonderheiten dieses Monats gehörten die Tiefdruckphasen 2 und 3 vom 15. bis 20. und vom 22. bis 25. März. Südwestdeutschland lag in dieser Zeit flach **innerhalb** der Nordgrenze einer zyklonalen Strömung des westlichen Mittelmeerraums. Die Witterung blieb trocken und hatte, wie auch die Werte des Luftdrucks, häufig eher Hochdruckcharakter. Trotzdem konnten diese Tage aufgrund der Strömung als richtig prognostiziert angesehen werden. (Siehe Wetterlagenbeschreibung). Es war vor allem der durch die Konjunktion von Pallas mit dem Galaktischen Zentrum (GaZ) ausgelöste T*-Aspekt Varuna 150° GaZ, der mit -11 Punkten bis zum 23. den Premeteo-Index nach unten drückte, übrigens begleitet von Neptun 72° GaZ, dessen Impuls noch unbekannt ist.

Die letzten drei Tage des März stellten eine auffallende Fehlprognose dar, als die stürmischen Tiefdruckgebiete Lucien, Mike und Niclas in rascher Folge hintereinander das Wetter bis nach Südwestdeutschland prägten. Dabei entwickelte sich Niclas sogar zum Orkan und forderte elf Todesopfer. Dies fand statt, als die noch im Toleranzbereich von $\pm 1^\circ$ sich befindende Konjunktion von Pallas mit Quaoar, die einen starken, zyklonalen Impuls trägt durch die exakt werdenden T-Aspekte von Mars 120° Pallas und Ceres 30° Pallas erneut aktiviert wurde. Eine Aktivierung fast-exakter Konjunktionen durch an sie anknüpfende, exakt werdende Aspekte von Planeten geringeren Rangs ist bis jetzt noch nicht Bestandteil der Prognoseregeln, kann aber offensichtlich in bestimmten Kombinationen sehr bedeutungsvoll sein. Solche Situationen müssen nun weiterhin genau beobachtet und beschrieben werden.

SW-D befand sich an 16 Tagen im Einflussbereich antizyklonaler Strömung. Die Summe des prognostizierten Premeteo-Index für diese Tage ergab +110, das einer Indexzahl von +6,88 pro Tag entsprach.

An 15 Tagen befand sich SW-D im Einflussbereich zyklonaler Strömung. Die Summe des prognostizierten Premeteo-Index für diese Tage ergab -22, das einer Indexzahl pro Tag von -1,47 entsprach.

Die Prognose durch die Premeteo-Wettersymbole war an 6 Tagen falsch (am 13., 18., 26., 29. -31.), an 13 Tagen richtig und an 12 Tagen tendenziell richtig.

07.04.2015

März 2015



Prognose für SW-Deutschland

Vom 15. bis zum 24. besteht eine besondere Prognoseunsicherheit durch unbekannte Aspekte im Index 3: Nep 45 Eri ?, Nep 72 GaZ A?(1/2), Hau 180 Eri ?, Var 150 GaZ T?(1/4)-1/10

Vom 20. bis 24. besteht die Dreierkonjunktion GaZ-Pallas-Quaoar

01.03.2015

Langsamläufer-Impulse			2H*, ?*	H*	H*				H*	T*
Schnellläufer-Impulse	4T, H	T	2H, T	H, T	T	2T	2H, Hf, T		T, Hf	Hf, Tf, T, H
Temperaturimpulse	2K	W, K			K	W				K, K*, W
Premeteo-Index - zyklonal, + antizyklonal (Index 1+2+3)	-2	-16	4	21	5	11	21	8	4	-4
Pre.IX (ALTERNATIV)									-3	10
Index 1 (12 - 12 UTC) exakte Aspekte des Tages	-2	-3	6	10	-3	0	13	0	2	-4
Index 1(ALTERNATIV)										10
Symmetrien (0 - 0 UTC)	Jun 143 Son GaZ (13) A A* W? H 0 Ven 4 Mar Ura (19) H W T -7? Son 73 Qua Sed (21) T A -7	Mer 31 Plu Chi (22) A A A?(3/3)?	Son 5 Nep Chi (03) H W A K? +7?	Jup 151 Son Plu (18) A K A* T---	Ven 6 Mar Eri (11) H W H +7 Mak 15op Son Ven (12) T K-7?	Ura 3 Ven Mar (09) T A 0 Index1 GSZ 164 Son Ven (12) T K---	Ven 4 Ura Eri (00) T H -7?	Cer 90 Eri Hau (03) H* A* ? +70 Ven 136 Sat Orc (12) A A H?(12/6)--- Var 151 GaZ Mer (20) T?(1/4) Hf K T? ?	Hau 180 Ven Eri (19) H ? +70	
Index 2 (12-12 UTC)	0	-7	0	0	0	7	0	0	7	0
Index 2 ALTERNATIV										0
ausgelöste LL-Aspekte		Ven 30 Son T-2 Ven 144 Orc T-2 Ven 150 Apo T-2	Ven 144 Orc T-2	Jup 120 Ura H6 Ves 135 GSZ H5	Son 30 Ura T-3 Jup 120 Ura H6 Ves 135 GSZ H5	Mar 180 Kn1 H4	Mar 144 Orc H4 Mar 180 Kn1 H4	Mar 144 Orc H4 Mar 180 Kn1 H4	Jun 135 Chi T-5	
Index 3 (Summe)	0	-6	-2	11	8	4	8	8	-5	0
Index 3 ALTERNATIV										
Symbol-Prognose	3	5	3	2	3	2	2	3	3	3
Symbol-Prognose altern.	3	5	3	2	3	2	2	3	3	2
Wochentag	So	Mo	Di	Mi	Do	Fr	Sa	So	Mo	Di
Datum	1	2	3	4	5	6	7	8	9	10
reale Wetterlage	T1: 5T - H / -18		H1: 6H*, 4Hf, 11H - 2T*, 2Tf, 12T / +63							
Luftdruck (hpa) 06 UTC	1011,2	1007,3	1024,4	1027	1036,8	1039,7	1035,7	1028,3	1026,9	1028
mittl. Temp.(°C)	8,3	7,9	7,1	5,2	3,5	2,6	3,8	4,8	7,1	7,5
Sonnenscheindauer (h)	0	2,9	5,8	3,9	5,5	9,7	8	10	10	4,3
Niederschlag (Liter)	1,5 / 11	2,0 / 2	0,6	0	0	0	0	0	0	1,1 / 2
Bodenwetterlage 00 UTC (Kernlage des Druckgebietes, das SW-D beeinflusst)	T ü Schottland	T ü Nordsee	H ü F	Azor-H, H ü Balkan	H ü Biskaya	H ü O-F	H ü Österr.	H ü Ukrai, Azor-H	H ü GB, H ü Karp	H-Brücke von O-Atl ü O-Eu bis S-R
Bodenströmung 12 UTC zyklonal (z), antizyklonal (a)	z	fl z	fl a	a	a	a	a	a-z	fl z	fl a
Strömung auf 500 hpa 00 UTC	W fl a	W a-z	WNW a-z	W a-z	N a-z	N a	N a	NO a	SW fl a	a
zutreffende Wettersymbole	5 hr	5 r	2-3 r	3 hr	3-5 r	2-3 r	2 r	2 hr	2 hr	3-5 r

Übertrag	03:04	02:12	02:11	11:16	03:01	00:20	00:53	04:22	02:19	06:06
Index 1: -3	VES 135 FY9	SON 135 VAR	MER 135 FY9	MER 0 VES	CER 135 ORC	SON 60 PLU	MAR 180 KN1	SON 0 CHI	VEN 135 SAT	MAR 120 JUP
Index 2: 0	WAS 16°15'36"	FIS 11°10'06"	WAS 16°13'31"	WAS 17°57'29"	STE 20°56'53"	FIS 15°05'59"	WID 11°29'36"	FIS 17°16'09"	WID 19°54'15"	WID 13°56'02"
	WAA 01°15'36"	KRE 26°10'06"	WAA 01°13'30"	WAS 17°57'29"	JUN 05°56'53"	STE 15°05'59"	WAA 11°29'36"	FIS 17°16'09"	SCH 04°54'16"	LOW 13°56'02"
	A*	A	H+1	H+1	A*	T-3	H+4	A?	A	T-4
	04:46	02:26	03:06	12:39	03:18	03:46	04:05	12:38	05:11	10:39
	SON 180 APO	MER 30 PLU	VES 135 GSZ	PAL 72 KN1	VEN 90 PLU	MAR 150 APO	SON 144 EL6	VAR 45 APO	SON 135 JUN	NEP 45 CER
	FIS 10°16'20"	WAS 15°00'57"	WAS 17°16'41"	SCH 23°37'35"	WID 15°04'52"	WID 10°49'29"	FIS 16°15'25"	KRE 26°05'19"	FIS 18°18'11"	WID 07°43'39"
	JUN 10°16'20"	STE 15°00'57"	WAA 02°16'41"	WAA 11°37'35"	STE 15°04'53"	JUN 10°49'28"	WAA 22°15'25"	WAA 11°05'19"	SCH 03°18'11"	STE 22°43'39"
	T-3	A	H*+5	H*+5	Äi	A	T-6	A*	T-3	T*(11,5/19)---
	04:53	04:31	04:45	15:16	07:35	14:36	07:17	22:34	08:38	11:02
	VEN 150 APO	SAT 72 VES	ERI 180 EL6	VEN 120 JUP	SON 150 JUP	VEN 144 APO	MER 30 CER	CER 90 EL6	CER 90 ERI	MER 150 VAR
	WID 10°16'22"	SCH 04°47'59"	WID 22°18'54"	WID 14°28'09"	FIS 14°24'02"	WID 16°52'30"	WAS 21°41'00"	STE 22°13'48"	STE 22°22'09"	WAS 26°04'00"
	JUN 10°16'22"	WAS 16°47'59"	WAA 22°18'54"	LOW 14°28'09"	LOW 14°24'01"	JUN 10°52'29"	STE 21°40'60"	WAA 22°13'47"	WID 22°22'10"	KRE 26°04'01"
	T K-2	A*	?	A W	A K	T W-2	Hf +7	A*	Hf K 0/47	
	05:21	09:38	12:33	18:46	14:30	20:46	13:45	23:17	15:27	12:15
	SON 30 VEN	VEN 180 KN1	JUP 120 URA	VEN 0 URA	SON 30 URA	VEN 30 CHI	MAR 144 ORC	MER 90 SED	VEN 60 VES	AP0 30 KN1
	FIS 10°17'48"	WID 11°44'19"	LOW 14°35'02"	WID 14°38'50"	FIS 14°41'22"	WID 17°11'17"	WID 11°54'02"	WAS 23°58'07"	WID 20°34'11"	JUN 11°18'34"
	WID 10°17'48"	WAA 11°44'20"	WID 14°35'02"	WID 14°38'51"	WID 14°41'22"	FIS 17°11'15"	JUN 05°54'02"	STI 23°58'06"	WAS 20°34'11"	WAA 11°18'34"
	T K 2	A W	H*+6	T---	T-3	A	H+8	A	A	A* K*
	15:46	09:47	13:48		18:23		17:17		15:41	14:36
	MAR 30 NEP	CHI 30 VES	MER 72 SAT		PAL 150 SED		MER 120 EL6		MER 60 PAL	MER 144 GSZ
	WID 07°23'47"	FIS 16°54'41"	WAS 16°49'39"		SCH 23°56'59"		WAS 22°14'54"		WAS 24°55'29"	WAS 26°16'44"
	FIS 07°23'47"	WAS 16°54'41"	SCH 04°49'38"		STI 23°56'58"		WAA 22°14'55"		SCH 24°55'28"	WAA 02°16'42"
	H+4	A*	H+2		H*+5		A		A	TI-7/0
	15:56	14:42	16:17				19:10		18:43	15:01
	MER 60 URA	VEN 144 ORC	MAR 45 SED				MER 60 ERI		MER 144 FY9	MER 135 KN1
	WAS 14°29'26"	WID 11°59'48"	WID 08°56'18"				WAS 22°21'19"		WAS 25°06'10"	WAS 26°18'13"
	WID 14°29'27"	JUN 05°59'48"	STI 23°56'18"				WID 22°21'19"		WAA 01°06'10"	WAA 11°18'12"
	T-1	T-2	T-4				A		Hf +7	A
	17:55	15:32	16:57						21:07	19:12
	SAT 45 CER	SON 150 KN1	MER 30 CHI						VEN 135 ORC	SON 144 JUP
	SCH 04°47'25"	FIS 11°43'33"	WAS 16°59'31"						WID 20°51'24"	FIS 19°53'09"
	STE 19°47'25"	WAA 11°43'33"	FIS 16°59'30"						JUN 05°51'23"	LOW 13°53'09"
	A*	A K	A						A	T W-3
	21:17	20:31	22:24							23:37
	MER 180 JUP	SON 72 SED	MER 135 GSZ							VEN 180 EL6
	WAS 14°45'27"	FIS 11°56'02"	WAS 17°16'40"							WID 22°11'53"
	LOW 14°45'26"	STI 23°56'03"	WAA 02°16'41"							WAA 22°11'52"
	A	A	A							H+4/0

März 2015



Prognose für SW-Deutschland

Vom 15. bis zum 24. besteht eine besondere Prognoseunsicherheit durch unbekannte Aspekte im Index 3:
 Nep 45 Eri ??, Nep 72 GaZ A?(1/2), Hau 180 Eri ?, Var 150 GaZ T?(1/4)-11/0
 Vom 20. bis 24. besteht die Dreierkonjunktion GaZ-Pallas-Quaooar

Langsamläufer-Impulse		H*	T*	T*						2H*
Schnellläufer-Impulse	Tf, 2H, T	H	2T, Hf	2H, T	T	H	H	Tf, 3T, H	H, Hf, T	Hf
Temperaturimpulse	K?							W	W	
Premeteo-Index -zyklonal, + antizyklonal (Index 1+2+3)	10	-4	-17	4	-12	-5	-8	-15	-5	10
Pre.IX (ALTERNATIV)	-15	3	-7		-1	6	3	-4	27	21
Index 1 (12 - 12 UTC) exakte Aspekte des Tages	-2	3	-9	4	-1	-1	0	-7	0	12
Index 1(ALTERNATIV)	-6		1						7	
Symmetrien (0 - 0 UTC)	Var 149 Pal Mer (00) T* Hf K A -?? Nep 45 Ven Cer (06) T T*(11,5/19) A K?0-14 Nep 45 Eri Cer (18) ?* T*(11,5/19) H* -?/0 Nep 10 Chi Mer (20) H? (1/0) H W +??		Mer 8 Nep Ves (05) H W H +?? Mer 45 Ura Plu (07) T A A?(2,5/2) -? Son 30 Ves Eri (08) A A T --- GaZ 1 Pal Qua (13) A? ? ? Mer 46 Mar Plu (19) H A A 0	Son 22 Ura Mer (12) T --- Hau 15op Ven Mar (21) H A ---	Eri 5 Ven Mar (03) H A* +?? Orc 2op Nep Mer (13) ?* A ?* Sat 89 Orc Mer (21) H?(12/6) H A +?	Hau 7op Ven Ura (13) H H?(5/1,5) ---	Eri 7 Ven Ura (02) H A?(2/1)+??	Var 151 Ves GaZ (14) H* T?(1/4) A ? Var 151 Pal Ves (15) T H* A ? Jun 145 Qua Mer (16) A* Hf A +? Mar 135 Sat Orc (17) T A H?(12/6) -? Chi 10 Son Nep (18) A K? H?(1/0) +??	Jun 144 Pal Mer (08) H* Hf A 0+14 Jun 135 Son Qua (08) A H* H +? Jun 144 GaZ Mer (10) A W? Hf T (+?)	Hau 180 Mar Eri (10) A ? ?
Index 2 (12 - 12 UTC)	7	-7	-7	0	0	7	0	0	7	0
Index 2 ALTERNATIV	-14	0							21	
ausgelöste LL-Aspekte	Cer 90 Eri H5 Nep 45 Eri ?* Hau 180 Eri ?*		Mer 45 Ura T-1		Var 150 GaZ T?(1/4) -11/0	Var 150 GaZ T?(1/4) -11/0	Son 90 GaZ H3 Nep 72 GaZ A?(1/2) Var 150 GaZ T?(1/4) -11/0	Son 90 GaZ H3 Nep 135 Hau ?* Nep 72 GaZ A?(1/2) Var 150 GaZ T?(1/4) -11/0	Mer 72 GaZ T-1 Nep 45 Eri ?* Nep 135 Hau ?* Nep 72 GaZ A?(1/2) Var 150 GaZ T?(1/4) -11/0	Son 90 Qua H3 Jun 135 Qua H5 Nep 72 GaZ A?(1/2) Var 150 GaZ T?(1/4) -11/0
Index 3 (Summe)	5	0	-1	0	-11	-11	-8	-8	-12	-2
Index 3 ALTERNATIV					0	0	3	3	-1	9
Symbol-Prognose	2	3	5	3	5	3	3	5	3	2
	5	3	3	3	3	3	3	3	2	2
Wochentag	Mi	Do	Fr	Sa	So	Mo	Di	Mi	Do	Fr
Datum	11	12	13	14	15	16	17	18	19	20
reale Wetterlage	T2: Tf, 5T - 2H*, 2Hf, 4H / -35									
Luftdruck (hpa) 06 UTC	1028,8	1031,1	1023,8	1023,2	1023,9	1021,9	1023,6	1025	1025,2	1025,1
mittl. Temp.(°C)	7,2	4,4	4,2	3,8	4,5	5	7,5	9,9	8,4	7,2
Sonnenscheindauer (h)	7,9	10,5	10,2	6,6	8,8	4	9,7	10,2	5,2	10,6
Niederschlag (Liter)	0	0	0	0	0	0	0	0	0	0
Bodenwetterlage 00 UTC (Kernlage des Druckgebiets, das SW-D beeinflusst)	H ü Nee	H ü Däne	H ü Balti	H ü Skand, T ü S-F	T ü W-Mm, H ü Finnland	T ü W-Mm, H ü W-R	T w Iber, H ü W-R	T ü Portu, H ü W-R	okkl T ü Gibrat, Hf T ü O-Mm, Hf ü M-R	T w Marokko
Bodenströmung 12 UTC zyklonal (z), antizyklonal (a)	fl a	a	fl a	a-z	z	fl z	z	z	fl z	fl z
Strömung auf 500 hpa 00 UTC	NW a-z	N fl z	N z	NO z	O z	SO z	S a-z	a-z	fl z	fl z
zutreffende Wettersymbole	2 r	2 hr	2 f	2-5 r	2-3 hr	2-3 hr	2 hr	2 f	2-3 r	2 r

MER 60 GaZ WAS 26°57'22" SCH 26°57'23" Tf -7	01:56	VEN 30 SED WID 23°59'26" STI 23°59'27" H+2	11:04	SON 150 EL6 FIS 22°09'49" WAA 22°09'49" T-3	01:57	VEN 120 PAL WID 25°57'32" SCH 25°57'31" A	02:03	SON 60 CER FIS 24°16'13" STE 24°16'12" A	04:38	MER 90 SAT FIS 04°55'39" SCH 04°55'39" H+1	09:42	URA 90 PLU WID 15°18'05" STE 15°18'05" A?(2,5/2)	03:03	MER 45 ERI FIS 07°27'06" WID 22°27'07" A	00:16	SON 90 QUA FIS 28°06'22" SCH 28°06'21" H+3	01:04	MER 150 KN1 FIS 10°48'07" WAA 10°48'08" A	02:14
VEN 0 ERI WID 22°23'10" WID 22°23'09" H+4/0	03:20	VES 120 EL6 WAS 22°10'04" WAA 22°10'04" H* 0/45	19:58	MER 45 URA FIS 00°05'23" WID 15°05'22" T-1	05:20	VEN 90 VAR WID 26°01'46" KRE 26°01'46" H+2	03:27	MAR 30 CHI FIS 17°42'25" FIS 17°42'26" A	05:55	MER 144 KN1 FIS 04°59'44" WAA 10°59'42" A	10:45	SON 90 PAL FIS 26°43'43" SCH 26°43'42" A	15:51	MAR 135 SAT FIS 09°55'09" SCH 04°55'10" Tf -10	04:26	MER 144 JUN FIS 09°19'45" LÖW 03°19'43" Hf 0/47	04:26	MER 45 CER FIS 10°48'43" STE 25°48'44" A	02:23
VEN 45 NEP WID 22°45'56" FIS 07°45'54" T---	10:50	VES 60 ERI WAS 22°24'23" WID 22°24'23" T* -5/0	07:25	CER 120 SED STE 24°00'15" STI 24°00'15" A*	08:45	MER 150 JUN WID 17°51'35" LÖW 03°13'54" A	07:19	VEN 144 SAT WID 28°55'39" SCH 04°55'38" A	12:57	MER 135 EL6 FIS 07°05'06" WAA 22°05'04" A	18:43	VEN 150 FY9 STI 00°56'35" WAA 00°56'36" T-2	05:01	SON 135 JUP FIS 28°15'04" LÖW 13°15'05" A	04:34	VES 135 KN1 WAS 25°47'57" FIS 10°48'43" H* +5	04:49	MER 135 VAR FIS 10°58'39" KRE 25°58'41" Hf +7	03:28
MAR 0 URA WID 15°00'23" WID 15°00'23" A	16:06	MER 45 PLU FIS 00°14'18" STE 15°14'19" A	07:44	PAL 150 VAR KRE 26°01'38" T* -5	09:25	MAR 144 APO WID 17°51'35" JUN 11°51'35" A*	10:47	VES 90 SED WAS 24°01'13" STI 24°01'13" SCH 26°57'26" H+3	13:11	SON 90 GaZ FIS 26°57'27" SCH 26°57'26" H+3	21:22	SON 72 PLU FIS 19°50'06" STE 15°19'07" T---	06:04	MAR 135 ORC WID 20°14'02" JUN 05°41'02" Hf +7	04:51	MER 135 VAR FIS 10°58'39" KRE 25°58'41" Hf +7	04:49	MER 135 VAR FIS 10°58'39" KRE 25°58'41" Hf +7	04:49
VEN 90 CER WID 23°09'60" STE 23°10'01" AK?	18:46	SON 30 ERI FIS 22°24'23" WID 22°24'23" A	07:47	MER 144 VAR FIS 02°01'36" KRE 26°01'34" A	12:19	VEN 120 QUA WID 28°05'27" SCH 28°05'27" T-2	20:20	MER 180 ORC FIS 05°43'32" JUN 05°43'31" A	21:59	SON 90 GaZ FIS 26°57'27" SCH 26°57'26" H+3	21:59	MER 0 NEP FIS 08°01'10" FIS 08°01'11" HW +2	08:50	VEN 150 GSZ STI 02°16'43" WAA 02°16'43" T-2	07:36	VEN 90 JUN STI 03°22'21" LÖW 03°22'23" A	05:24	VEN 90 JUN STI 03°22'21" LÖW 03°22'23" A	05:24
MER 60 QUA WAS 28°03'58" SCH 28°03'59" H+1	20:20	SON 30 VES FIS 22°25'18" WAS 22°25'18" A	08:09	MER 150 GSZ FIS 02°16'41" WAA 02°16'43" A	16:18	SON 120 VAR FIS 26°00'16" KRE 26°00'15" A	22:24	MER 180 ORC FIS 05°43'32" JUN 05°43'31" A	21:59	SON 90 GaZ FIS 26°57'27" SCH 26°57'26" H+3	21:59	VEN 144 FY9 WAS 24°56'23" WAA 00°56'23" A*	09:42	MER 72 QUA FIS 10°06'30" SCH 28°06'30" A	16:00	CER 30 VES STE 25°52'16" WAS 25°52'16" A*	06:58	CER 30 VES STE 25°52'16" WAS 25°52'16" A*	06:58
MAR 90 PLU WID 15°12'52" STE 15°12'51" A	22:42	NEP 72 PAL FIS 07°50'38" SCH 25°50'39" A*	13:48	MER 45 MAR FIS 02°16'49" WID 17°16'48" H+1	16:20	VEN 120 GaZ WID 26°57'24" SCH 26°57'25" A	22:20	SON 60 SED FIS 24°00'30" STI 24°00'30" A	21:59	VEN 120 GaZ WID 26°57'24" SCH 26°57'25" A	21:59	PAL 0 GaZ SCH 26°57'26" SCH 26°57'27" A*	18:47	VEN 45 CHI STI 02°59'38" FIS 17°59'38" A W	21:51	VES 150 VAR WAS 25°58'33" KRE 25°58'33" H* +5	12:04	VES 150 VAR WAS 25°58'33" KRE 25°58'33" H* +5	12:04
MER 150 FY9 FIS 01°01'34" WAA 01°01'35" Hf +7	20:23	MER 150 FY9 FIS 01°01'34" WAA 01°01'35" Hf +7	20:23	VEN 135 APO WID 26°47'01" JUN 11°47'01" T-2	18:24	VEN 120 GaZ WID 26°57'24" SCH 26°57'25" A	22:20	SON 60 SED FIS 24°00'30" STI 24°00'30" A	21:59	VEN 120 GaZ WID 26°57'24" SCH 26°57'25" A	21:59	MER 72 GaZ FIS 08°57'25" SCH 26°57'27" T-1	22:53	MER 72 PAL FIS 08°59'49" SCH 26°59'48" A	23:29	MER 72 SED FIS 12°03'14" STI 24°03'15" A	15:03	MER 72 SED FIS 12°03'14" STI 24°03'15" A	15:03
MAR 90 PLU WID 15°12'52" STE 15°12'51" A	22:42	VEN 120 GaZ WID 26°57'24" SCH 26°57'25" A	16:20	VEN 135 APO WID 26°47'01" JUN 11°47'01" T-2	18:24	VEN 120 GaZ WID 26°57'24" SCH 26°57'25" A	22:20	SON 60 SED FIS 24°00'30" STI 24°00'30" A	21:59	VEN 120 GaZ WID 26°57'24" SCH 26°57'25" A	21:59	MER 72 GaZ FIS 08°57'25" SCH 26°57'27" T-1	22:53	MER 72 PAL FIS 08°59'49" SCH 26°59'48" A	23:29	MER 72 SED FIS 12°03'14" STI 24°03'15" A	15:03	MER 72 SED FIS 12°03'14" STI 24°03'15" A	15:03

März 2015



Prognose für SW-Deutschland

Vom 15. bis zum 24. besteht eine besondere Prognoseunsicherheit durch unbekannte Aspekte im Index 3:
Nep 45 Eri ?, Nep 72 GaZ A?*(1/2), Hau 180 Eri ?, Var 150 GaZ T?*(1/4)-11/0
Vom 20. bis 24. besteht die Dreierkonjunktion GaZ-Pallas-Quaoar

Langsamläufer-Impulse	2H*				TI*			2H*		T*, H*	
Schnellläufer-Impulse	2T, Hf	Hf, T	T, Tf	H, Hf, T		4H, T	T	2H, 2T	2T	H, 2T	T, 2H
Temperaturimpulse		W?		2W		K	W	K, W		K	W
Premeteo-Index zyklonal, + antizyklonal (Index 1+2+3)	7	-10	-2	2	-11	11	10	19	27	10	15
Pre.IX (ALTERNATIV)	13	15	9								
Index 1 (12 - 12 UTC) exakte Aspekte des Tages	12	9	3	1	-12	5	-3	11	5	-3	-1
Index 1 (ALTERNATIV)	7										
Symmetrien (0 - 0 UTC)	Son 22 Mar Nep (01) Hf --- Son 22 Nep Eri (06) T --- Mer 5 Nep Chi (12) H W A +77 Pal + Qua GaZ (18) Tf -14/0	Son 10p Mak GSZ (13) Hf T ?	Ven 16 Sed Eri (08) ? ?	Son 119 Sat Jun (06) A H' H' +14 Ven 14 Mar Sed (13) Tf -14	GaZ 134 Ven Jup (15) A W A' T K --- Sat 121 Son Jun (19) A H' Hf +7 Mer 23 Ura Ves (23) H' 0	Mak 60p Son Mer (01) Hf H +77 Qua 135 Ven Jup (16) H H' T K +14 Hau 60p Mar Ura (18) A H? (5/1.5) +77	GSZ 60p Son Mer (03) T A -77 Jup 135 Qua Mer (16) H' H' A A +7 Ven 136 Pal Mak (18) A A H' 0	Jup 134 GaZ Mer (08) A' A T --- Ves 45 Ura Plu (07) H' A' A?*(2,5,2)+7 Eri 6 Mar Ura (12) A' T?*(2) ? Ura 6 Son Eri (13) K A?*(2/1) +7 Eri 23 Ven Mer (16) T K ---	Mer 22 Nep Eri (08) ? ? Mer 29 Mar Ves (08) A A T 0 Mak 151 Mar Ves (16) H A' T +7 Mer 10p Mak GSZ (21) H A +7		
Index 2 (12 -12 UTC)	0	-14	0	0	0	0	7	0	14	7	7
Index 2 ALTERNATIV	0	0	0	0	0	0	0	0	0	0	0
ausgeöste LL-Aspekte	Jup 135 Qua Hb Nep 45 Eri ? Nep 72 GaZ A?*(1/2) Hau 180 Eri ? Var 150 GaZ T?*(1/4) 11/0	Jup 135 Qua Hb Nep 45 Eri ? Nep 72 GaZ A?*(1/2) Hau 180 Eri ? Var 150 GaZ T?*(1/4) 11/0	Jup 135 Qua Hb Nep 72 GaZ A?*(1/2) Var 150 GaZ T?*(1/4) 11/0	Jup 135 Qua Hb Jun 135 Chi T-5 Nep 72 GaZ A?*(1/2)	Jup 135 Qua Hb Jun 135 Chi T-5	Jup 135 Qua Hb	Jup 135 Qua Hb	Ven 135 Qua H2 Jup 135 Qua Hb	Ven 135 Qua H2 Jup 135 Qua Hb	Jup 135 Qua Hb	Son 45 Sed H3 Jup 135 Qua Hb
Index 3 (Summe)	-5	-5	-5	1	1	6	6	8	8	6	9
Index 3 ALTERNATIV	6	6	6	3	3	2	2	2	2	2	2
Symbol-Prognose	3	2	3	3	3	2	2	2	2	2	2
Wochentag	Sa	So	Mo	Di	Mi	Do	Fr	Sa	So	Mo	Di
Datum	21	22	23	24	25	26	27	28	29	30	31
reale Wetterlage	H2:2H', Hf-2T+7	T3: Tf', Tf', 3T - 2Hf, H / -21				H3: 2H', 6H - 3T / +40 (korr. +35)				T4: T', 4T - H', 3H / +52 (korr. +42)	
Luftdruck (hpa) 06 UTC	1018,6	1019,7	1019,2	1011,2	1004,7	1011,2	1018,2	1025,5	1014,4	1004,7	1006,1
mittl. Temp.(°C)	6,2	7,1	8,2	8,5	7,8	7,1	8,5	8,4	11,3	10,5	12
Sonnenscheindauer (h)	1,7	0,6	7,3	9,6	3,1	0	5,5	4,7	0	1,6	2,6
Niederschlag (Liter)	0	0	0	0	0,4 / 2	0,5	0	0,1	12,8 / 4	0 / 14	1,4 / 5
Bodenwetterlage 00 UTC (Kernlage des Druckgebiets, das SW-D beeinflusst)	H ü O-Atl, fl T ü Däne, H ü Balk	H ü GB u Däne	T bel Gibraltar, kl H ü Polen	T ü Iber, T ü Osee	T ü O-F u SW-D	Azor-H	T ü Nsee, Azor-H	Azor-H	T ü Nm, Azor-H	T ü S-Osee	T ü Schottl-Nsee
Bodenströmung 12 UTC zyklonal (z), antizyklonal (a)	fl z	z	a-z	fl z	z	a	a	a	a	fl a	a-z
Strömung auf 500 hpa 00 UTC	W a-z	NW a-z	O a-z	SW a-z	SW fl z	a-z	W z	N fl a	WNW a	NW z	NW a-z
zutreffende Wettersymbole	3-5 hr	3-5 r	3 r	2-3 hr	2-3 r	5 f	3 hr	3 hr	5 f	5 f	5 f

02:50 VES 144 GSZ WAS 26°16'43" WAA 02°16'43" A*

02:30 VEN 120 ORC STI 05°37'58" JUN 05°37'57" A*

02:48 VEN 144 FY9 WAA 00°50'57" A*

04:24 JUP 135 PAL LÖW 12°58'12" SCH 27°58'12" A*

01:10 JUP 30 APO LÖW 12°55'45" JUN 12°55'45" A*

03:34 VEN 150 KN1 STI 10°28'54" WAA 10°28'53" H K +2

09:13 VEN 135 GaZ STI 11°57'30" SCH 26°57'30" A W

02:12 VEN 90 JUP STI 12°48'12" LÖW 12°48'13" T K ---

00:49 VEN 72 VAR KRE 25°55'36" A

01:32 MER 90 QUA FIS 28°07'32" SCH 28°07'34" A

06:07 SON 180 KN1 WID 10°12'41" WAA 10°12'40" T W -3

02:56 MER 180 APO FIS 12°29'29" JUN 12°29'30" T -2

12:00 VES 60 GaZ WAS 26°57'28" SCH 26°57'28" A*

05:03 MER 144 EL6 FIS 15°59'17" WAA 21°59'17" A

06:23 VEN 60 NRP STI 08°13'51" FIS 08°13'50" H W +2

01:49 PAL 0 QUA SCH 28°07'22" TF' -11

04:48 MAR 90 VAR KRE 25°56'23" T -4

14:12 MAR 120 GaZ WID 26°57'31" SCH 26°57'30" T -4

02:12 VEN 135 QUA STI 13°07'35" JUN 13°18'36" H +4

03:52 MER 120 QUA STI 13°07'35" SCH 28°07'34" H +2

SON 45 SED FIS 00°42'50" WAA 00°42'49" A

04:02 MER 180 ERY9 WID 00°41'24" WAA 00°41'27" H +2

03:24 PAL 144 JUN SCH 27°25'05" LÖW 03°25'06" H' +5/0

12:22 MAR 45 NRP WID 23°10'06" FIS 08°10'07" Hf +10

05:50 SON 180 GSZ WID 02°16'44" WAA 02°16'43" T -6

07:25 VEN 144 GaZ STI 08°16'44" WAA 02°16'43" A W

19:26 SON 120 SAT WID 04°49'29" SCH 04°49'29" H +4

12:19 VEN 72 VES STI 10°55'04" WAA 10°55'04" H +4

19:55 CER 30 QUA STE 28°07'33" SCH 28°07'33" A*

11:14 CER 135 APO STE 28°18'36" JUN 13°18'36" H' +5

10:19 MER 90 QUA FIS 26°57'33" SCH 26°57'31" T -1

05:21 VES 150 FY9 FIS 00°42'50" WAA 00°42'49" A

14:20 JUP 144 CHI WID 12°41'41" FIS 18°41'41" H +2

10:58 JUP 135 QUA LÖW 13°06'52" SCH 28°06'52" H' +46

20:28 MER 60 PLU FIS 15°22'57" STE 15°22'57" T -1

17:33 MAR 30 SED WID 24°04'41" STI 24°04'42" Tf -10

13:08 MER 0 CHI FIS 18°16'30" FIS 18°16'32" A

13:10 SON 150 ORC WID 05°33'24" JUN 05°33'24" H +3

13:10 MER 60 SED FIS 24°06'55" STI 24°06'56" A

20:43 VEN 120 APO STI 13°18'58" JUN 13°18'58" H W +4

12:31 SON 30 NEP WID 08°24'31" FIS 08°24'32" T -3

05:26 MAR 120 PAL WID 28°55'03" WAA 02°16'44" H +2

11:40 VEN 150 SAT STI 04°53'24" SCH 04°53'25" A W

23:56 MER 30 URA FIS 15°37'37" WID 15°37'35" A W?

20:46 CER 30 GaZ FIS 26°57'28" SCH 26°57'28" A*

14:49 SON 120 JUN WID 03°36'33" LÖW 03°36'33" Hf +9

18:24 MER 135 JUN FIS 18°39'15" LÖW 03°39'14" A

18:40 PAL 60 VES SCH 28°04'20" WAA 28°04'21" A*

21:08 VES 60 QUA WAS 28°07'21" SCH 28°07'21" A*

22:17 MER 144 JUP FIS 18°56'04" LÖW 12°56'05" T -1

15:15 MER 150 EL6 FIS 21°55'30" WAA 21°55'30" A

23:37 MER 30 ERI FIS 22°32'36" WID 22°32'38" H +1

14:39 CER 72 KN2 STE 28°21'03" WID 10°21'04" H' +10

20:41 VEN 135 PAL STI 13°43'19" SCH 28°43'18" A

20:46 MER 120 VAR FIS 25°55'41" KRE 25°55'39" T -1

16:51 MER 72 PLU FIS 27°27'31" STE 15°27'32" A

12:19 MER 90 PAL FIS 28°57'27" SCH 28°57'27" A

12:43 VEN 135 FY9 STI 15°42'30" WAA 00°42'28" A*

20:34 MER 135 JUP FIS 27°44'38" LÖW 12°44'38" A

16:02 MER 30 MAR FIS 29°14'43" WID 29°14'43" A

20:00 MAR 144 SAT WID 28°43'59" SCH 04°43'58" A

23:55 MER 90 CER WID 28°44'49" STE 28°44'48" A

23:10 VEN 144 KN1 STI 16°13'34" WAA 10°13'35" A

23:28 URA 45 VES WID 16°04'39" FIS 01°04'39" H' +5

März 2015: Fehlprognosen

Datum	Vorzeichen Symbol	Analyse
10.	-4 3-5 r	Hochdruckbrücke vom Ostaltantik nach Osteuropa. Am Abend kam es zum Durchzug eines Regengebiets, aber insgesamt blieb die antizyklonale Strömung erhalten. Flacher Index.
12.	-4 2 hr	Hoch Luisa über Dänemark und Finnland. Der Index 1 war positiv. Flacher Index. Auf 500 hpa zyklonal.
13.	-17 2 f	Hoch Luisa über Baltikum. Um 20 UTC trat noch der Hf-Aspekt Merkur 150° Makemake auf. Auf 500 hpa zyklonal.
20.	+10 2 r	Tief westlich Marokko. Letzter Tag einer sechstägigen Tiefdruckphase. Symbolprognose richtig. Vesta 135° aufst. Mondknoten H* und Merkur 135° Varuna Hf im Index 1 waren für den positiven Index verantwortlich, konnten sich jedoch erst am folgenden Tag durchsetzen.
24.	+2 2-3 hr	Tief über Iberien und Tief Jörg über Ostsee. Flacher Index, einzelner, positiver Tag.
29.	+27 5 f	Tief Lucien über Nordmeer. Die Überprüfung der Konstellationen förderte einen handwerklichen Fehler zutage: Ceres 135° Apogäum H*+5, sowie Ceres 72° abst. Mondknoten H*+10 am 28. um 11:14 UTC und 14:39 UTC hätten gemäß den bestehenden Regeln nicht angerechnet werden dürfen wegen Ceres 30° Pallas T*-5 am 30. März. Dadurch hätten die Werte des Premeteo-Index am 28. und 29. statt +19 und +27 nur +14 und +17 betragen. Damit wäre aber der Vorstoß von Tief Lucien auch nicht prognostiziert worden. Der hohe Wert des Premeteo-Index stammte aus Index 2 und 3. Es war die Symmetrie Quaoar 135° Venus Jupiter HH*T, die mit +14 Punkten einging, und die beiden H-Aspekte Venus 135° Quaoar und Jupiter 135° Quaoar erschienen auch noch einmal im Index 3 mit +8 Punkten durch die Konjunktion von Pallas mit Quaoar. Auf 500 hpa antizyklonal.
30.	+10 5 f	Tief Mike über südlicher Ostsee. Analyse siehe 29. und 31. März.
31.	+15	Orkan-Tief Niklas über Schottland-Nordsee. Die Konjunktion Pallas 0° Quaoar Tf* schien für die weitere Abfolge von Tief Mike am 30. und Orkan-Tief Niklas am 31. verantwortlich zu sein. Pallas 0° Quaoar ist ein starker Tiefdruck-Aspekt. Als er am 25. exakt wurde, zeigten der Verlauf des Premeteo-Index und des Luftdrucks eine bemerkenswerte Übereinstimmung. Am 30. schien die Konjunktion Pallas-Quaoar durch die beiden T-Aspekte Mars 120° Pallas und Ceres 120° Pallas noch mal besonders aktiviert worden zu sein und schloss damit Index 2 und 3 aus. Nach den bestehenden, noch zu wenig differenzierten Prognoseregeln war diese starke Tiefdruckphase nicht vorherzusagen, doch entsprach sie dem Verlauf von Index 1, wie das Diagramm zeigt, und sie hatte einen leichten Überschuss an exakten T-Aspekten. Der Premeteo-Index summierte durch Index 2 und 3 jedoch auf +52 (korrigiert +42).